

円柱前面における洗掘機構に関する研究

京都大学 工学部 正員 ○鈴木 章一
 " " 学生員 河村 康
 " " " 吉倉 廣幸

1. すえがき 橋脚周辺の洗掘には、橋脚側面における一次元的掃流によって説明されたものと、前面における渦が支配的な洗掘力となるものがあることは既に指摘してきたが¹⁾、ここでは最終状態で最大洗掘が生じる橋脚前面の渦による洗掘について論じる。橋脚周辺で生じるいわゆる馬蹄形渦は古くから洗掘力として注目されていて、非常に複雑な三次元的挙動を示すので定量的にはとり扱えず、わずかに Shen が定性的に論じたものがお手にすぎない²⁾。本研究はこの渦による洗掘特性を実験的に考察したものである。

2. よどみ面内の渦特性 図-1 のように円柱前面底部に発生する渦の大きさを測定した結果、図の記号を用いて、 U_0/D , H/D は図-2 に示すように、 Re 数に対するほとんど変化しないことが認められた。Shen によると円柱前面よどみ面内における循環は円柱がおよぶために

$$P_1 = -U_{0s} D/2 \quad (1)$$

だけ変化する³⁾。いま図-1において二つの渦と三角形 AOS に内接する半径 l , 角速度 ω が回転している円で代表せるとすると、この円の外縁での速度を v とすると、循環は、

$$P_2 = \oint v \, ds = - \int_0^{2\pi} l \omega \, l \, d\theta = -2\pi \omega l^2 \quad (2)$$

となるが、上に述べたように $l = k_1 D$ (k_1 : 定数) とおくこととするとき、また円柱がおよぶ範囲の循環の変化とこの渦とは密接な関係があるから、 $P_1 = k_2 P_2$ とすれば、(1), (2) 式より、

$$U = k_3 U_{0s} \quad (3)$$

ただし、 $k_3 = 1/4k_1 k_2 \pi$ となるが、洗掘力は密接な関係があることから、渦の速度 v は U_{0s} に支配され、したがって渦による前面の洗掘も U_{0s} に支配されると考えられる。

3. 実験結果と考察 実験は全長 14m, 幅 98cm, 深さ 30cm の水路で行ないその実験条件は表-1 に示すとおりである。 U_0 は一様流の平均流速、 d_0 は砂の平均粒径である。また問題を簡単にすくために、局所洗掘のみが生じ河床全体は静止していなければ、clear water scour の状態で実験を行なった。図-3 は円柱前面の洗掘深さの時間変化を示したものである。横軸は時間を表わす無次元量 $U_0 t/D$ 、縦軸は洗掘

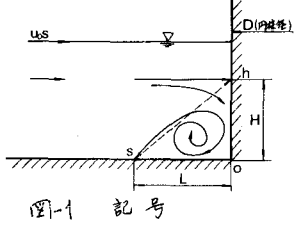


図-1 記号

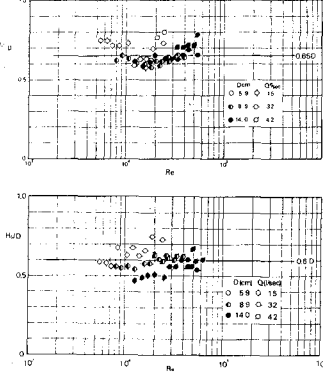


図-2 渦のスケール

表-1 実験条件

No.	Q_1 (sec)	D (cm)	d_0 (cm)	h (cm)	U_0 (cm/sec)	U_{0s} (cm/sec)	U_{0t} (cm/sec)	U_x/U_s	$Re (=UD/U_0)$
1	42.94	5.9	0.193	9.72	45.08	3.26	17.70	2.54	2.65×10^3
2	42.94	"	"	11.87	36.91	"	"	2.08	2.18
3	42.27	"	"	13.92	30.88	"	"	1.74	1.82
4	32.22	"	"	8.25	39.85	"	"	2.25	2.35
5	32.22	"	"	12.00	23.27	"	"	1.54	1.62
6	32.22	"	"	12.00	24.00	"	"	1.54	1.62
7	15.63	"	"	6.45	24.72	"	"	1.40	1.46
8	43.09	8.9	"	9.81	44.82	"	"	2.53	3.99
9	42.54	"	"	12.27	35.38	"	"	1.99	3.15
10	42.54	"	"	11.65	31.87	"	"	1.80	2.44
11	32.60	"	"	8.45	40.22	"	"	2.24	2.59
12	35.48	"	"	9.58	37.04	"	"	2.08	3.30
13	32.60	"	"	12.00	27.72	"	"	1.56	2.47
14	36.08	"	"	13.62	26.05	"	"	1.47	2.32
15	36.08	"	"	7.65	37.75	"	"	1.54	2.44
16	42.72	14.0	"	9.90	44.04	"	"	2.46	6.17
17	41.98	"	"	11.68	36.59	"	"	2.06	5.12
18	41.69	"	"	13.85	30.72	"	"	1.75	4.30
19	31.88	"	"	8.35	38.96	"	"	2.20	5.45
20	31.88	"	"	11.59	37.44	"	"	2.05	5.18
21	32.15	"	"	11.59	37.30	"	"	1.60	3.98
22	35.48	"	"	13.62	26.05	"	"	1.47	3.65
23	35.51	"	"	5.55	28.52	"	"	1.61	3.99
24	35.48	8.9	0.083	13.67	26.05	"	"	1.58	2.24
25	35.48	"	"	17.06	20.80	"	"	1.79	3.70

深を表わす Z_{st}/D が二種の関係を両対数紙上にとっている。 Z_{st}/D の最終的な平衡状態は得られないのであるが、洗掘が急激に進み以後非常に緩慢になると曲線の変化率が小さくなる。したがって、曲線の傾きが急に変化する点（洗掘の進行速度が急に緩慢になる点）がほぼ平衡状態にはなつたと考え、よりこの点を遷移洗掘深と名づけた。図-3によると $Z_{st}/D \approx U_0/V_s (= 1.077 U_0/d_0)$ で分けられることがわかるが、この Z_{st}/D と U_0/V_s の関係を図-4に示す。 Z_{st}/D は 1966 年に Carstens が名づけたものである。

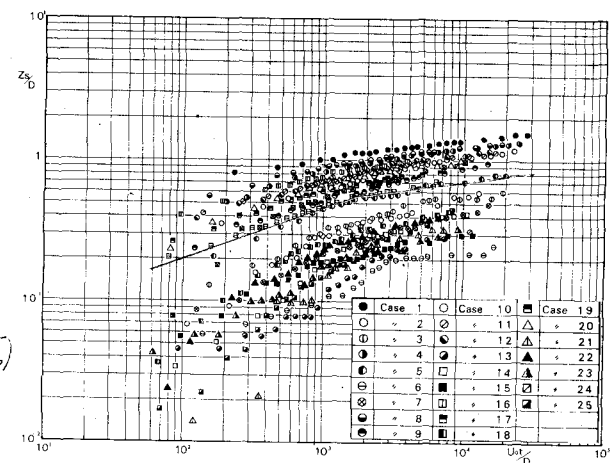


図-3 遷移洗掘深の時間変化

U_0/V_s によって支配されることから式(4)

$$Z_{st}/D = 1.14 (U_0/V_s) - 1.64 \quad (4)$$

である。図-5は遷移洗掘深に到達するまでの無次元時間 $U_0 t / D$ と U_0/V_s の関係を示しており、 U_0/V_s が大きいほど平衡状態に達するまでの時間 $U_0 t / D$ は短かいことがわかる。したがって $U_0 t / D$ に平均流速 U_0 を用いたことには、円柱前面の渦による洗掘においても側面の一次元的掃流と同じく、(3)式に示すように平均流速 U_0 が支配的であることがわかる。このことは側面の洗掘の影響のないよう円柱前面のみスリット状に移動床にして前面の洗掘の実験結果も図-4に黒丸で示されており、 U_0/V_s が支配的であることによって裏付けられていく。

4. あとがき 本研究では円柱前面での渦による洗掘深 Z_{st}/D も sediment number U_0/V_s によって現象が統一的に説明できることを示したが、実験は近くまで clear water scour へのこの進行がわれてものであり、すなはち平衡状態を代表せず遷移洗掘深の決まり方に及ぼす影響は小さい。

参考文献

- 1) 中川・鎌木：円柱橋脚周辺の流れと局所洗掘について、第16回水理講演集 1992. 2
- 2), 3). Schneider, R.A. & Shen, H.W.; Analytical approach to local scour, Proc. IAH, Vol. 3, 1987
- 4). Carstens, M.R.; Similarity laws for localized scour, Proc. ASCE Vol. 92 H/3, 1966

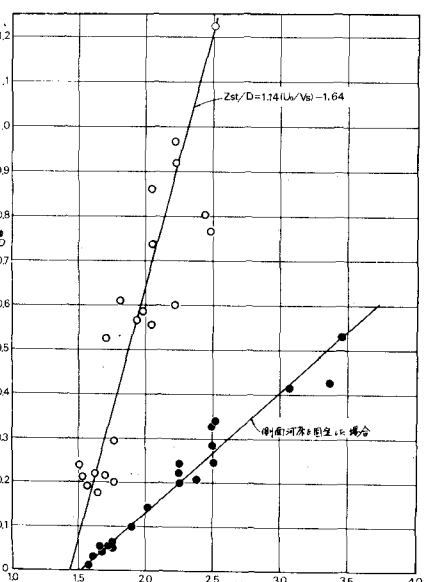


図-4 遷移洗掘深と sediment number

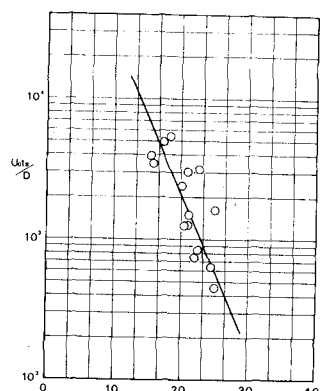


図-5 遷移洗掘深到達時間と U_0/V_s